

## ВТОРЫЕ ГАРМОНИКИ НОРМАЛЬНЫХ SH ВОЛН В АНИЗОТРОПНОМ СЛОЕ С РАЗНОТИПНЫМИ КРАЕВЫМИ УСЛОВИЯМИ НА ГРАНИЧНЫХ ПОВЕРХНОСТЯХ.

**А.А. КУСЛИВАЯ, В.И. СТОРОЖЕВ,**  
*Донецкий национальный университет,*  
*83055, Донецк, ул. Университетская, 24*

### ВВЕДЕНИЕ.

Вопросам анализа нелинейных эффектов при распространении нормальных упругих волн малой интенсивности в анизотропных упругих волноводах посвящен ограниченный круг исследований. Актуальная в теоретическом и прикладном отношении проблема описания свойств нелинейных нормальных волн в упругих волноводах пространственного геометрического строения остается на сегодняшний день открытой по многим аспектам из-за чрезвычайной сложности неоднородных краевых задач, которые описывают данные волновые эффекты.

В данной работе рассматривается задача определения нелинейных ангармонических возмущений для нормальных волн, которые распространяются в плоскопараллельном анизотропном упругом волноводе (слое пространственной геометрии толщиной  $2h$ ) из материала кубической системы. Материалом волновода является монокристалл класса  $m\bar{3}m$ . На плоских граничных поверхностях (гранях слоя) задаются разнотипные краевые условия: одна грань, по предположению, свободна, а вторая жестко закреплена. Данные условия заключаются в равенстве нулю напряжений на одной грани и упругих волновых смещений в плоскости другой грани.

### ПОСТАНОВКА ЗАДАЧИ.

Модель нелинейных волновых процессов в рассматриваемом волноводе базируется на представлении упругого потенциала  $U$

$$U = \frac{1}{2} c_{jqrk} \varepsilon_{jq} \varepsilon_{rk} + \frac{1}{6} c_{jqrklm} \varepsilon_{jq} \varepsilon_{rk} \varepsilon_{lm}; \quad (1)$$

и нелинейных представлениях компонент тензора упругих деформаций

$$\varepsilon_{rk} = \frac{1}{2} (u_{r,k} + u_{k,r} + u_{l,r} u_{l,k}), \quad u_{r,k} = \partial u_r / \partial x_k. \quad (2)$$

Нормированные компоненты тензора механических напряжений  $\sigma_{jd}$  представляются в виде суммы линейных и нелинейных составляющих

$$\sigma_{jd} = \partial U / \partial u_{j,d} = \sigma_{jd}^{(0)} + \sigma_{jd}^{(1)}, \quad (3)$$

где

$$\sigma_{jd}^{(0)} = c_{jdrk} u_{r,k}; \quad \sigma_{jd}^{(1)} = \frac{1}{2} c_{jdrk} u_{l,r} u_{l,k} + c_{pdrk} u_{j,p} u_{r,k} + \frac{1}{2} c_{jdrklm} u_{r,k} u_{l,m}.$$

Тензоры упругих постоянных второго и третьего порядков монокристаллического материала слоя в рассматриваемом случае характеризуются соответственно тремя независимыми постоянными второго порядка  $\tilde{c}_{ij}$ , шестью независимыми постоянными третьего порядка  $\tilde{c}_{ijk}$ .

Тензорные уравнения движения для рассматриваемого волновода имеют вид

$$\rho \ddot{u}_j - \sigma_{jd,d}^{(0)} = \sigma_{jd,d}^{(1)} \quad (j = \overline{1,3}). \quad (4)$$

На граничных поверхностях  $x_3 = \pm h$  формируются граничные условия вида:

$$\left( \sigma_{3j}^{(0)} \right)_{x_3=+h} + \left( \sigma_{3j}^{(1)} \right)_{x_3=+h} = 0, \quad \left( u_j \right)_{x_3=-h} = 0 \quad (j = \overline{1,3}). \quad (5)$$

Задачи (4), (5) описывают спектры и свойства мод исследуемых свободных однородных и краевых стоячих нелинейных нормальных волн в анизотропном кристаллическом слое кубической системы.

### АНАЛИТИЧЕСКАЯ ФОРМА ПРЕДСТАВЛЕНИЙ ВТОРЫХ ГАРМОНИК НЕЛИНЕЙНЫХ НОРМАЛЬНЫХ ВОЛН.

Анализ нелинейных волновых эффектов в рассматриваемом волноводе основывается на методике определения нелинейных «добавок» в представлениях функций волновых упругих смещений пропорциональных малому параметру – акустическому числу Маха, которые определяют как нелинейные ангармонические возмущения разных порядков или так называемые высшие гармоники стационарных упругих волн.

По этой методике компоненты вектора упругих волновых смещений представляются в виде ряда:

$$u_j = \sum_{k=0}^n u_j^{(k)}, \quad (6)$$

в котором  $|u_j^{(k)}| \sim \delta |u_j^{(k-1)}|$ ,  $\delta$  - Маха.

На основе выделения в равенствах составляющих одного порядка по малому параметру  $\delta$  формируется рекуррентная последовательность краевых задач для уравнений вида

$$\rho \ddot{u}_j^k - \left( \sigma_{jd,d}^{(0)} \right)_{u=u^{(k)}} = \left( \sigma_{jd,d}^{(1)} \right)_{u=u^{(k-1)}} \quad (k \geq 1), \quad (j = \overline{1,2}) \quad (7)$$

с граничными условиями

$$\left( \left( \sigma_{3j}^{(0)} \right)_{u=u^{(k)}} \right)_{x_3=+h} + \left( \left( \sigma_{3j}^{(1)} \right)_{u=u^{(k-1)}} \right)_{x_3=+h} = 0, \quad \left( u_j^{(k)} \right)_{x_3=-h} = 0 \quad (j = \overline{1,3}). \quad (8)$$

Из рекуррентной последовательности краевых задач (7), (8) с учетом используемого представления  $U$  корректно могут быть найдены только составляющие  $u_j^{(0)}$  и  $u_j^{(1)}$ , соответственно определяемые из линейной спектральной краевой задачи

$$\rho \ddot{u}_j^{(0)} - c_{jdkr} u_{r,dk}^{(0)} = 0, \quad \left( \sigma_{32}^{(0)} \right)_{x_3=h} = 0, \quad \left( u_2^{(0)} \right)_{x_3=-h} = 0, \quad (j = \overline{1,2}), \quad (9)$$

и неоднородной краевой задачи

$$\begin{aligned}
 & \rho \ddot{u}_j^{(1)} - c_{jdkr} u_{r,dk}^{(1)} = c_{jdkr} u_{r,dk}^{(0)} u_{l,r}^{(0)} + \\
 & + c_{pdrk} (u_{j,dp}^{(0)} u_{r,k}^{(0)} + u_{r,dk}^{(0)} u_{j,p}^{(0)}) + c_{jdrklm} u_{r,dk}^{(0)} u_{l,m}^{(0)}, \\
 & \left( \sigma_{31}^{(0)} \right)_{x_3=h} + \left( \sigma_{31}^{(1)} \right)_{x_3=h} = 0, \quad \left( \sigma_{33}^{(0)} \right)_{x_3=h} + \left( \sigma_{33}^{(1)} \right)_{x_3=h} = 0, \\
 & \left( u_1^{(1)} \right)_{x_3=-h} = 0, \quad \left( u_3^{(1)} \right)_{x_3=-h} = 0. \quad (j = \overline{1,2}).
 \end{aligned} \tag{10}$$

Из решения задачи линейной задачи (9) следует описание моды с номером  $n$  в линейном спектре нормальных SH-волн в упругом слое кубической системы

$$u_{2n}^{(0)} = \left( f_{1n} \cos(\alpha_n x_3) + f_{2n} \sin(\alpha_n x_3) \right) E(x_1, t, \omega, k), \quad (n = \overline{1, \infty}), \tag{11}$$

$$\alpha_n = (2n-1)\pi / (4h); \quad k_n = \sqrt{(\Omega^2 - c_{44} \alpha_n^2) / c_{44}}; \quad \Omega^2 = \rho c_*^{-1} R_*^2 \omega^2,$$

где  $\Omega$  является безразмерным параметром, а  $f_{jn}$  определяются из соотношений

$$f_{1n} = G_n \sin(\alpha_n h), \quad f_{2n} = G_n \cos(\alpha_n h),$$

а  $G_n$  является произвольной константой – амплитудной характеристикой.

Соответствующая задача для определения ангармонических возмущений  $u_{jn}^{(1)}$  принимает вид

$$\begin{aligned}
 & \rho \ddot{u}_1^{(1)} - c_{11} u_{1,11}^{(1)} - \Delta_8 u_{3,31}^{(1)} - c_{44} u_{1,33}^{(1)} = \beta_{1n}(x_3) E(x_1, t, 2\omega, 2k_n), \\
 & \rho \ddot{u}_2^{(1)} - c_{44} (u_{2,11}^{(1)} + u_{2,33}^{(1)}) = 0,
 \end{aligned} \tag{12}$$

$$\begin{aligned}
 & \rho \ddot{u}_{3n}^{(1)} - c_{11} u_{3n,33}^{(1)} - \Delta_8 u_{1n,13}^{(1)} - c_{44} u_{3n,11}^{(1)} = \beta_{3n}(x_3) E(x_1, t, 2\omega, 2k_n); \\
 & \left( \sigma_{31}^{(0)} \right)_{x_3=h} + \left( \sigma_{31}^{(1)} \right)_{x_3=h} = 0, \quad \left( \sigma_{33}^{(0)} \right)_{x_3=h} + \left( \sigma_{33}^{(1)} \right)_{x_3=h} = 0, \\
 & \left( u_1^{(1)} \right)_{x_3=-h} = 0, \quad \left( u_3^{(1)} \right)_{x_3=-h} = 0. \quad (j = \overline{1,2}).
 \end{aligned} \tag{13}$$

В соотношениях (12)–(13)

$$\beta_{1n}(x_3) = A_{1n} + a_{11n} \cos[2\alpha_n x_3] + a_{12n} \cos[2\alpha_n x_3],$$

$$\beta_{3n}(x_3) = a_{21n} \sin[2\alpha_n x_3] + a_{22n} \cos[2\alpha_n x_3].$$

Качественный анализ задачи (12)–(13) показывает, что вторыми гармониками, которые сопровождают распространение нормальных SH-волн, являются только волны P-SV-типа с удвоенной частотой. Компонента  $u_{2n}^{(1)}$  в данном случае равна 0.

Полное решение неоднородной системы уравнений (12)–(13) состоит из суммы её частного решения  $\tilde{u}_{jq}^{(1)}$  и общего решения  $\hat{u}_{jq}^{(1)}$  соответствующей однородной системы:

$$u_{1n}^{(1)}(x_1, x_3, t) = \tilde{u}_{1n}^{(1)}(x_1, x_3, t) + \hat{u}_{1n}^{(1)}(x_1, x_3, t), \tag{14}$$

$$u_{3n}^{(1)}(x_1, x_3, t) = \tilde{u}_{3n}^{(1)}(x_1, x_3, t) + \hat{u}_{3n}^{(1)}(x_1, x_3, t).$$

Частное решение неоднородной системы (13)-(14) получено в виде

$$\begin{aligned} \tilde{u}_{1n}^{(1)}(x_1, x_3, t) &= (\mu_{1n} + \mu_{2n} \cos[2\alpha_n x_3] + \mu_{3n} \sin[2\alpha_n x_3]) E(x_1, t, 2\omega, 2k_n), \\ \tilde{u}_{3n}^{(1)}(x_1, x_3, t) &= (\mu_{4n} \sin[2\alpha_n x_3] + \mu_{5n} \cos[2\alpha_n x_3]) E(x_1, t, 2\omega, 2k_n). \end{aligned} \quad (15)$$

Общее решение однородной системы уравнений (12)-(13) имеет структуру:

$$\begin{aligned} \tilde{u}_{1n}^{(1)}(x_1, x_3, t) &= (V_{11n} \cos[\chi_{1n} x_3] + V_{12n} \cos[\chi_{2n} x_3] + V_{13n} \sin[\chi_{1n} x_3] + \\ &+ V_{14n} \sin[\chi_{2n} x_3]) E(x_1, t, 2\omega, 2k_n), \\ \tilde{u}_{3n}^{(1)}(x_1, x_3, t) &= (V_{31n} \sin[\chi_{1n} x_3] + V_{32n} \sin[\chi_{2n} x_3] + V_{33n} \cos[\chi_{1n} x_3] + \\ &+ V_{34n} \cos[\chi_{2n} x_3]) E(x_1, t, 2\omega, 2k_n), \end{aligned} \quad (16)$$

Параметры  $\chi_{1n}$  и  $\chi_{2n}$  здесь являются корнями биквадратного характеристического уравнения:

$$\begin{aligned} c_{11}c_{44}\chi_n^4 + 4\chi_n^2 \left( -(c_{11} + c_{44})\Omega^2 + (c_{11}^2 - c_{12}^2 - 2c_{12}c_{14})k_n^2 \right) + \\ + 16 \left( \Omega^2 \left( \Omega^2 - k_n^2 (c_{11} + c_{44}) \right) + 16c_{11}c_{44}k_n^4 \right) = 0. \end{aligned} \quad (17)$$

Коэффициенты в представлениях (16) определяются из граничных условий.

## ЧИСЛЕННЫЕ РЕЗУЛЬТАТЫ.

Построенное аналитическое решение позволяет провести анализ кинематических закономерностей, свойственных явлению возникновения нелинейных ангармонических возмущений для линейных мод нормальных SH-волн в волноводах с разностными краевыми условиями.

Первоочередные вопросы численного анализа нелинейных вторых гармоник касаются закономерностей изменения их амплитудно-частотных характеристик. При этом особый интерес для изучения представляет анализ эффектов резкого возрастания нормированных интенсивностей волновых движений в ангармонических возмущениях в окрестности определенных частот. Такие эффекты можно характеризовать как резонансное возбуждение вторых гармоник.

Эти эффекты выявляются при анализе частотных зависимостей в представлениях  $u_{1n}^{(1)}$  и  $u_{3n}^{(1)}$ , представленных в частности на рисунке 1 и 2 для величин  $U_j = \left| u_{jn}^{(1)} \right|_{x_3=0.6}$  от значений приведенного частотного параметра в случае, когда линейная монохроматическая нормальная SH волна принадлежит моде  $n=1$  нормальных волн.

Проанализировав аналитически частотные зависимости в представлении  $u_{1n}^{(1)}$  от значений приведенного частотного параметра нормальной монохроматической линейной SH волны моды для слоя с гибкими нерастяжимыми покрытиями граней, можно отметить, что при  $\Omega = k_n \sqrt{c_{11} / \rho}$  наблюдается резкое возрастание нормированных интенсивностей волновых движений, связанные с неограниченным возрастанием параметра  $\mu_{1n}$ , при обращении в ноль его знаменателя при  $\Omega = k_n \sqrt{c_{11} / \rho}$ . Но данная зависимость представляет собой уравнение моды продольной объемной волны вдоль направления  $Ox_1$  монокристалла германия. Таким образом, при совпадении фазовых

скоростей об'ємних продольних і нормальних поперечних SH волн спостерігається резонансне возбудження вторих гармоник.

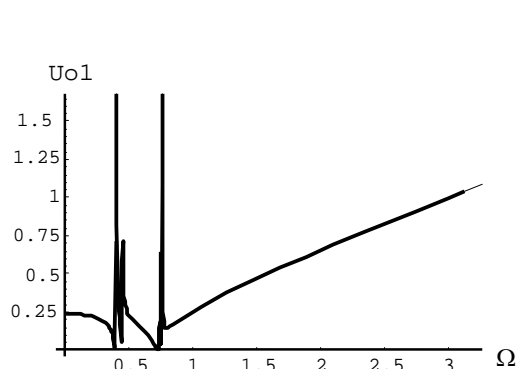


Рис. 1

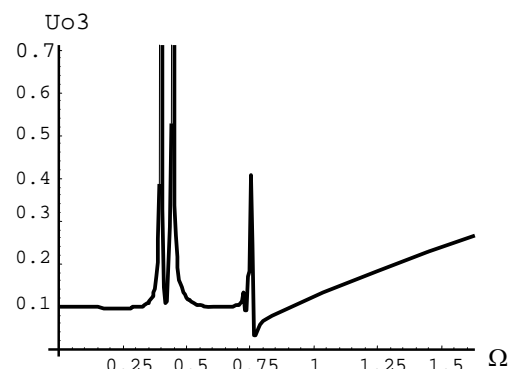


Рис. 2

Представляет также интерес сопоставительный анализ соотношений между интенсивностями линейной нормальной SH волны и её второй гармоники. Соответствующие расчеты в частности проведены для волн, которые принадлежат низшей моде линейного спектра нормальных SH-волн при значениях нормированной частоты  $\Omega_k = \Omega_k + \Delta\Omega k$ , где  $k = 1, 15$ , и отражены в нижеследующей таблице 1.

Табл 1.

$\Omega_k$	$\bar{u}_{2n}^{(0)} =  u_{2n}^{(0)}  / G_n$	$\bar{u}_{1n}^{(1)} =  u_{1n}^{(1)}  / G_n^2$	$\bar{u}_{3n}^{(1)} =  u_{3n}^{(1)}  / G_n^2$
1.7	1	0.56281	0.333049
1.9	1	0.642085	0.369987
2.1	1	0.720974	0.406788
2.3	1	0.799622	0.443504
2.5	1	0.878137	0.480168
2.7	1	0.956593	0.51681
2.9	1	1.03505	0.55345
3.1	1	1.11354	0.590109
3.3	1	1.19211	0.626803
3.5	1	1.27078	0.663548
3.7	1	1.34956	0.700361
3.9	1	1.42848	0.737254
4.1	1	1.50754	0.778193
4.3	1	1.58675	0.819878
4.5	1	1.66613	0.861822

На основании этих расчетов в частности можно сделать вывод, что амплитуды компонент  $u_{1n}^{(1)}$  и  $u_{3n}^{(1)}$  второй гармоники имеют порядок, приблизительно равный квадрату амплитуды компоненты  $u_{2n}^{(0)}$ .

Одним из принципиально важных моментов исследования является анализ энергетических характеристик ангармонических возмущений нормальных волн. Основными величинами, которые характеризуют энергетику гармонических волновых движений частоты  $\omega$ , являются плотности средних за период потоков мощности. Расчетные соотношения для этих характеристик имеют форму

$$P_j = \frac{-i\omega}{4} R_* c_* \left( \sigma_{j1} u_1^* + \sigma_{j2} u_2^* + \sigma_{j3} u_3^* - \sigma_{j1}^* u_1 - \sigma_{j2}^* u_2 - \sigma_{j3}^* u_3 \right) \quad (j = \overline{1,3}),$$

где  $\sigma_{ji}$  и  $u_j$  – комплексные амплитудные характеристики соответственных полей механических напряжений и волновых упругих смещений, а через  $(-)^*$  обозначена операция комплексного сопряжения.

На рис. 3 приведено распределение максимальных по толщине нормированных значений среднего за период потока мощности волновых движений вдоль направления распространения  $Ox_1$  в линейных SH-волнах первой моды, которое характеризуется показателем

$$\tilde{P}_l^{(0)} = \max_{x_3} \left| P_l^{(0)}(x_1, x_3, t) \right|,$$

а на рис. 4 – распределение энергетического показателя

$$\tilde{P}_l^{(1)} = \max_{x_3} \left| P_l^{(1)}(x_1, x_3, t) \right| / G_n^2,$$

который характеризует поток мощности для вторых гармоник нормальных волн для слоя с разнотипными краевыми условиями.

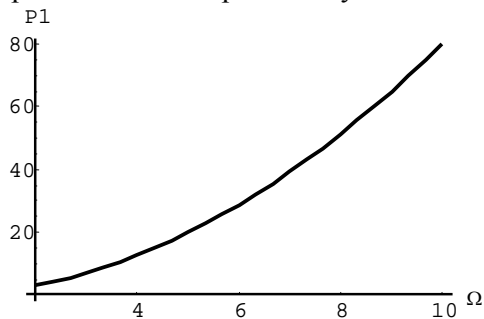


Рис. 3

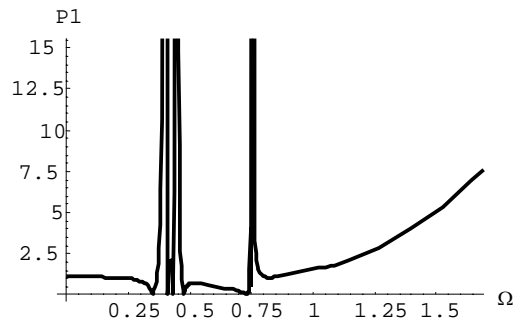


Рис 4

Если исследованная интенсивность потоков мощности в линейных волнах почти пропорциональна частоте, то для волн вторых гармоник распределение максимальных значений потоков мощности является в некоторой степени подобным к распределению интенсивностей максимальных уровней амплитудных функций в этих гармониках.

## ВЫВОДЫ.

На основании проведенных аналитических и численных исследований в данной работе в аналитической форме с помощью методов компьютерной алгебры получены представления, описывающие напряженности вторых гармоник (нелинейных ангармонических возмущений) нормальных волн из любой моды SH спектра для монокристаллического слоя кубической системы с разнотипными краевыми условиями. Проанализированы отдельные амплитудно-частотные эффекты для исследуемых вторых

гармоник. В частности установлено, что в достаточно широком исследованном частотном спектре амплитуда смещения  $u_{3n}^{(1)}$  второй гармоники пропорциональна квадрату амплитуды линейной нормальной волны с коэффициентами в диапазоне от 0.33 до 0.88, а амплитуда смещения  $u_{1n}^{(1)}$  второй гармоники пропорциональна квадрату амплитуды линейной нормальной волны с коэффициентами в диапазоне от 0.56 до 1.66 в случае с разными краевыми условиями.

#### ЛИТЕРАТУРА

1. Куренная К. Частное решение спектральной задачи для второй гармоники взаимодействующих SH-волн в слое // Теорет. и прикладная механика. – 2003. – Вып. 38. – С. 188-194.
2. Лейбфрид С. Г., Людвиг В. Теория ангармонических эффектов в кристаллах. – М.: ИЛ, 1963. – 231 с.
3. Космодамианский А. С., Сторожев В. И. Динамические задачи теории упругости для анизотропных сред. – К.: Наук. думка, 1985. – 176 с.